



Métodos en Diferencias Finitas (MDF) Didácticos / Tradicionales para la Ec. de Onda 1D: Estabilidad y Dispersión Numéricas

Debemos retomar de la clase 01 al deducir la Ec. 1D de onda, la siguiente ecuación resultante de aplicar 2^{da} Ley de Newton

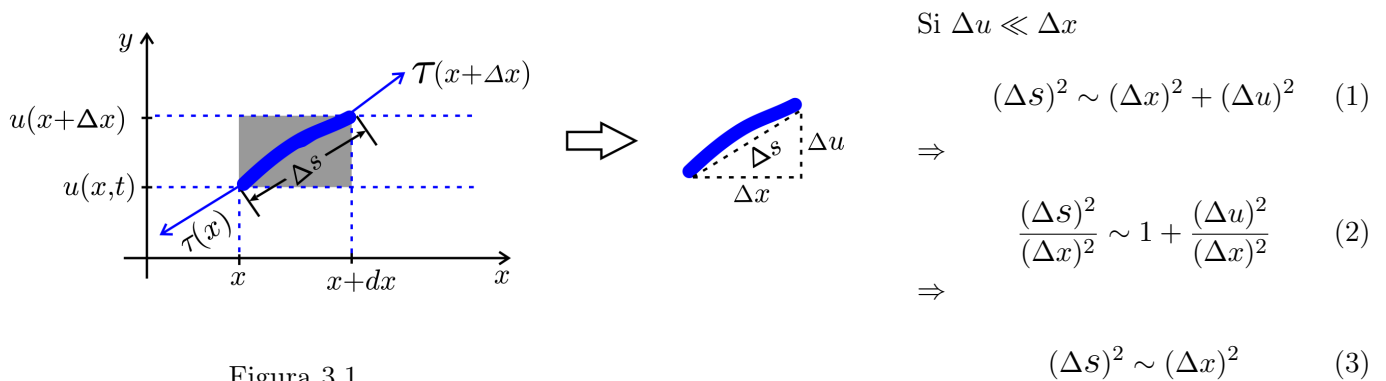


Figura 3.1.

$$\underbrace{\tau(x + \Delta x) \frac{\partial}{\partial x}(x + \Delta x, t) - \tau(x) \frac{\partial}{\partial x}(x, t)}_{\text{Fuerza Resultante}} = \underbrace{\rho(\bar{x}) \frac{\partial^2}{\partial t^2} u(\bar{x}, t) \Delta s}_{\text{masa} \times \text{aceleración}} \quad (4)$$

Al tomar el límite $\Delta x \rightarrow 0$ y usar (1) en (4)

$$\frac{\partial}{\partial x} \left[\tau(x) \frac{\partial}{\partial x} u(x, t) \right] = \rho(x) \frac{\partial^2}{\partial t^2} u(x, t) \quad (5)$$

La Ec. (5) se puede reescribir al considerar los parámetros de la cuerda rigidez y densidad, ambos variables en el espacio. Es decir, $\tau \leftrightarrow \mu$ y con el símbolo τ denotamos los términos de fuerza a las izquierda de (4). En conclusión la Ec. (3) es equivalente al sistema desplazamiento (u) - esfuerzo (τ)

$$\left\{ \begin{array}{l} \tau(x, t) = \mu(x) \frac{\partial}{\partial x} u(x, t) \\ \rho(x) \frac{\partial^2 u}{\partial t^2}(x, t) = \frac{\partial}{\partial x} \tau(x, t) \end{array} \right. \quad (6)$$

sujeto a las C.I's:

$$\left\{ \begin{array}{l} u(x, 0) = f(x) \\ \dot{u}(x, 0) = g(x) \end{array} \right. \quad (7)$$

Donde \dot{u} denota $\frac{\partial u}{\partial x}$.

(a) Parámetros	(b) Variables Dependientes
$\mu(x)$: Rigidez	$\tau(x)$: Esfuerzo
$\rho(x)$: Densidad	$u(x, t)$: Desplazamiento

Nota. Aquí abandonamos la notación del Stein [2], como τ es rigidez, y denotamos este parámetro por μ .

15 En estas posibles CI's, $f(x)$ realmente impone una deformación inicial sobre la cuerda: $f' = \frac{\partial u}{\partial x} \leftarrow y$ esta
 16 cantidad mide **la deformación**. La función $g(x)$ también es de interés y podría ayudarnos a "direccionar" la
 17 propagación de esa deformación inicial. Esto trataremos de verlo a nivel computacional en las tareas. Ahora
 18 resultaría interesante revisar el texto Ziil/Cullen y la separación de variable para el caso de la Ec. de Onda
 19 (pág. 445–448) [1].

20 **Condiciones de Fronteras:**

- 21 • **Frontera Sujeta:** $u(0) = u(L) = 0$. Cuerda de extremos anclados
- 22 • **Frontera Libre:** $\tau(0) = \tau(L) = 0$. En este caso los extremos de la cuerda se mueven, pero **no** ejerciendo
 23 tensión o esfuerzo en el vacío circundante.

24 **Sistema Velocidad – Esfuerzo:** la Ec. (6) se puede reescribir al considerar $\frac{\partial u}{\partial t}$ como una variable depen-
 25 diente en lugar de u . Aquí

$$v = \dot{u}, \quad \dot{u} = \frac{\partial u}{\partial t} \quad y \quad \tau_x = \frac{\partial \tau}{\partial x}, \quad (8)$$

26 las cuales son notaciones muy usadas en ingeniería. De esta manera tenemos el sistema (6), reescrito como

$$\begin{cases} \dot{\tau} = \mu v_x \\ \rho \dot{v} = \tau_x \end{cases} \quad (9)$$

27 **MDF's para el sistema Velocidad - Esfuerzo:** malla nodales en espacio y tiempo

28 Discretización del Dominio

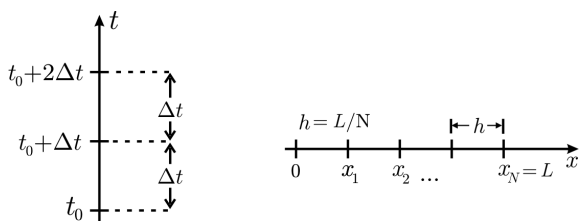


Figura 3.2.

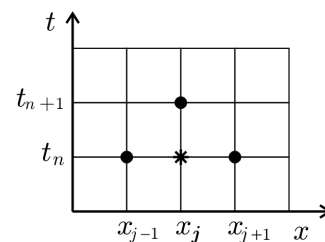


Figura 3.3.

29 **malla:** Colección de puntos (x_j, t_n) para $j = 0, 1, \dots, N$; y $n = 0, 1, 2, \dots$

$$(A) \begin{cases} \frac{v^{n+1} - v^n}{\Delta t} = \left(\frac{1}{\rho_j 2h} \right) (\tau_{j+1}^n - \tau_{j-1}^n) \\ \frac{\tau_j^{n+1} - \tau_j^n}{\Delta t} = \left(\frac{\mu_j}{2h} \right) (v_{j+1}^n - v_{j-1}^n) \end{cases} \quad (10)$$

30 Este método (A) se llama **FTCS**: Forward in time and central in space, y resulta de sustituir la DF de 1^{er}
 31 Orden $\mathcal{O}(\Delta t)$:

$$D_+(u) = \frac{u(t_n + \Delta t) - u(t_n)}{\Delta t}, \quad (11)$$

32 y la DF de 2^{do} orden $\mathcal{O}(h^2)$:

$$D_0(u) = \frac{u(x_j + h) - u(x_j - h)}{2h}, \quad (12)$$

33 en las derivadas parciales respectivas en la Ec. (9)

34 **Consistencia del MDF (A)**: Esta es la primera propiedad a estudiar en un MDF y esta asociada al
 35 E.L.T. en un punto de la malla (x_j, t_n) .

$$\begin{aligned} ELT \Big|_{(x_j, t_n)} &= \left[MDF - EDP \right] \Big|_{v(x_j, t_n), \tau(x_j, t_n)} \quad \leftarrow \text{Medir esta diferencia, pero en la solucin exacta a la EDP.} \\ &= \rho(x_j) \left[\frac{v(x_j, t_{n+1}) - v(x_j, t_n)}{\Delta t} - \underbrace{\dot{v}(x_j, t_n)}_{[*]} \right] + \left[\frac{\mathcal{T}(x_{j+1}, t_n) - \mathcal{T}(x_{j-1}, t_n)}{2h} - \underbrace{\mathcal{T}_x(x_j, t_n)}_{[**]} \right] \\ &= \rho(x_j) \left[\frac{\Delta t}{2} \ddot{v}(x_j, t_n) + \dots \right] + \left[-\frac{h^2}{6} \mathcal{T}_{xxx}(x_j, t_n) + \dots \right] \\ &= \mathcal{O}(\Delta t, h^2). \end{aligned} \quad (13)$$

36

37 Para escribir la Ec. (13), se han usado los ELT ya conocidos al deducir las fórmulas en DF por Taylor, para
 38 reemplazar [*] y [**]. Así, el método FTCS hereda el orden de truncamiento de las DF's usadas al construirlo
 39 como era de esperarse. Nota no siempre pasa y hay ejemplos en la literatura que lo demuestran.

40 Ahora, un MDF es consistente si

$$\lim_{\Delta t, h \rightarrow 0} ELT(\Delta t, h) = 0 \quad (14)$$

41 Note que esta propiedad se cumple para el método FTCS al tomar el límite en cuestión en la Ec. (13), bajo la
 42 hipótesis que las derivadas \ddot{v} , \mathcal{T}_{xxx} , y de orden superior estén acotados. En la práctica, la consistencia prueba
 43 que el $MDF \rightarrow EDP$, la solución del 1^{ero} converge a la solución de 2^{do}, si en t_n contamos con la solución
 44 exacta, y se refina la malla infinitamente. Es decir, la consistencia trata el error de un paso de tiempo.

45 El problema es que esos ELT de orden $\mathcal{O}(\Delta t, h^2)$ se acumulan durante varios pasos de tiempo, y se le suman,
 46 los errores de redondeo. La pregunta es si la solución discreta del MDF permanecen acotado entonces la
 47 respuesta será en la Estabilidad del MDF.



48 **Estabilidad del MDF (A):** Análisis de Fourier.

49 Considere las soluciones discretas

$$\begin{cases} v_j^n = A e^{i(-\omega(n\Delta t) + k(jh))} \\ \tau_j^n = B e^{i(-\omega(n\Delta t) + k(jh))} \end{cases} \quad (15)$$

50 y se introduce ambas Ecs de (15) en el MDF:

$$v_j^{n+1} - v_j^n = \left(\frac{\Delta t}{\rho 2h} \right) (\tau_{j+1}^n - \tau_{j-1}^n) \quad (16)$$

51 \Rightarrow

$$A \left(e^{-i\omega\Delta t} - 1 \right) e^{i(-\omega(n\Delta t) + k(jh))} = \left(\frac{\Delta t}{2\rho h} \right) \left(e^{ikh} - e^{-ikh} \right) B e^{i(-\omega(n\Delta t) + k(jh))} \quad (17)$$

52 de modo que

$$\boxed{A \left(e^{-i\omega\Delta t} - 1 \right) = \left(\frac{\Delta t}{2\rho h} \right) i \operatorname{sen}(kh)}, \quad (18)$$

53 para todo los casos en que $e^{i(-\omega(n\Delta t) + k(jh))} \neq 0$.

54 De forma análoga se introducen las Ecs. de (15) en el MDF:

$$\tau_j^{n+1} - \tau_j^n = \left(\frac{\Delta t \mu}{2h} \right) (v_{j+1}^n - v_{j-1}^n) \quad (19)$$

55 de modo que

$$\boxed{B \left(e^{-i\omega\Delta t} - 1 \right) = \left(\frac{\Delta t \mu A}{h} \right) i \operatorname{sen}(kh)} \quad (20)$$

56 Se considera ahora la nueva Ec. (18)*(20):

$$\left(e^{-i\omega\Delta t} - 1 \right)^2 = - \left(\frac{\mu}{\rho} \right) \left(\frac{\Delta t}{h} \right)^2 \operatorname{sen}^2(kh) \quad (21)$$

57 Así los coeficientes A y B desaparecen. Note que $\mu/\rho = c^2$, la velocidad de la onda.

58 Así que el resultado anterior (21) se reescribe, como



$$\left(e^{-i\omega\Delta t} - 1 \right)^2 = - \underbrace{\left[\frac{c\Delta t}{h} \operatorname{sen}(kh) \right]}_{\mathbb{R}}^2 \quad (22)$$

59 para combinaciones generales de kh . La única manera que esta condición se cumple es que

$$e^{-i\omega\Delta t} - 1 = \pm \left(\frac{c\Delta t}{h} \right) \operatorname{sen}(kh)i \quad \leftarrow \quad \text{complejopuro} \quad (23)$$

60 de donde,

$$\left| e^{-i\omega\Delta t} \right| = \left| 1 \pm \left(\frac{c\Delta t}{h} \operatorname{sen}(kh)i \right) \right| > 1 \quad (24)$$

61 Esto a su vez conduce a la solución para $\omega = ai$, con $a \in \mathbb{R}^+$,

$$e^{-i\omega\Delta t} = e^{a\Delta t} > 1. \quad (25)$$

62 Sin embargo, la solución discreta v_j^n original

$$v_j^n = A \left[e^{a\Delta t} \right]^n e^{ij(kh)} = A \underbrace{\left[e^{a\Delta t} \right]^n}_{(a)} \underbrace{e^{i(jh)k}}_{(b)} \quad (26)$$

63 Donde:

64 (a) : La exponencial es > 1 .

65 (b) : La exponencial es Armónica en espacio, pero exponencial en tiempo.

66 Las soluciones discretas crecerán a medida que n crezca (nro de iteraciones). A este tipo de método se le
67 llama **inestable**. Una conclusión semejante se tiene si se asume $\omega = a + bi$, con $a, b \in \mathbb{R}$, como una manera
68 de satisfacer (24).

69 **(B) Método CTCS.** Este MDF pregunta el estencil en particular el modo (x_j, t_n) es el punto de expansión
al formular el método, pero no permanece en el Estencil

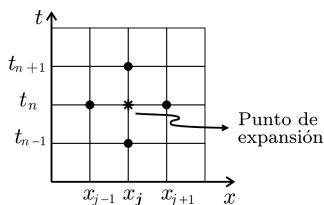


Figura 3.4.

$$\begin{cases} \frac{v_j^{n+1} - v_j^{n-1}}{2\Delta t} = \left(\frac{1}{2h\rho} \right) (\tau_{j+1}^n - \tau_{j-1}^n) \\ \frac{\tau_j^{n+1} - \tau_j^{n-1}}{2\Delta t} = \left(\frac{\mu}{2h} \right) (v_{j+1}^n - v_{j-1}^n) \end{cases} \quad (27)$$

70

71 El ELT en el método de CTCS es $\mathcal{O}(h^2, \Delta t^2)$ y también resulta consistente.



72 **Estabilidad vía Fourier.** Supongamos:

$$v_j^n = A e^{i(-\omega)n\Delta t + kjh}, \quad y \quad \tau_j^n = B e^{i(-\omega n\Delta t + kjh)} \quad (28)$$

73 Al sustituir v_j^n y τ_j^n de (28) en las dos ecuaciones discretas del MDF (27):

$$-A \operatorname{sen}(\omega\Delta t) = \left(\frac{\Delta t}{\rho h}\right) B \operatorname{sen} kh; \quad -B \operatorname{sen} \omega\Delta t = \frac{\mu\Delta t}{h} \operatorname{sen}(kh) \quad (29)$$

74 Al tomar el producto de ambas Ecs. de (29):

$$\operatorname{sen}^2(\omega\Delta t) = \left(\frac{c\Delta t}{h}\right)^2 \operatorname{sen}^2 kh, \quad \text{con } c^2 = \frac{\mu}{\rho} \quad (30)$$

75 Una condición necesaria para que $\omega \in \mathbb{R}$ es que se cumpla la condición.

$$\left(\frac{c\Delta t}{h}\right) \leq 1 \quad (31)$$

76 la expresión (31) es la condición CFL (Courant - Friedrichs - Lewy).

77 **Interpretación de CFL.** De la condición del CFL (31) se desprende

$$\begin{aligned} c\Delta t \leq h &\rightarrow \text{Espaciamiento entre los nodos de la malla.} \\ &\rightarrow \text{Distancia que recorre la onda en } \Delta t \text{ unidades de tiempo.} \end{aligned} \quad (32)$$

Así, la perturbación no puede desplazarse más que una celda de la malla. Sin embargo, note que el MDF propagará "parte" de esa perturbación a x_j desde x_{j-1} , dado que v_j^{n+1} resulta un promedio de los valores de v y τ en los puntos/nodos del stencil.

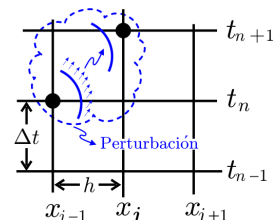


Figura 3.5.

78 (c) **Método CTCS centro-distribuido o Staggered:**

79

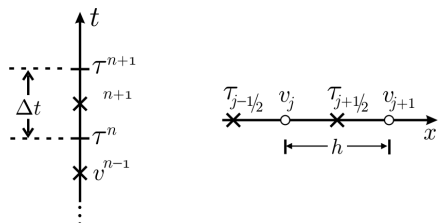


Figura 3.6.

En espacio, las velocidades se definen en los nodos $x_j = jh$, $j = 0, 1, \dots, N$, mientras que los esfuerzos están definidos en los centros de celda $x_{j+1/2}$, $j = 0, \dots, N - 1$. Adicionalmente, consideremos evaluaciones τ_0 y τ_N en los bordes en tiempo, los esfuerzos son nodales y donde τ^0 representa la condición inicial (CI). Las velocidades son staggered respecto a τ , pero podría considerarse v^0 o $v^{-1/2}$, para representar una CI en velocidad. El valor $v^{-1/2}$ representa una "extrapolación" a $t < 0$.

$$\frac{v_j^{n+1/2} - v_j^{n-1/2}}{\Delta t} = \left(\frac{1}{\rho h}\right) (\tau_{j+1/2}^n - \tau_{j-1/2}^n); \quad \frac{\tau_{j+1/2}^{n+1} - \tau_{j+1/2}^n}{\Delta t} = \frac{\mu}{\Delta x} (v_{j+1}^{n+1/2} - v_j^{n+1/2}) \quad (33)$$

80 Este método tiene el mismo costo computacional del método CTCS nodal, pero su ELT es menor. Es más,

$$ELT^{\text{staggered}} \sim \frac{1}{4}ELT^{\text{nodal}}. \quad (34)$$

81 En cuanto a su estabilidad, la condición CFL es exactamente la misma que (31), y lo cual queda como
82 ejercicio de tarea.

83 Referencias

- 84 [1] Zill, D G. and Cullen, M. R. (2015) Differential Equation with Boundary-Value Problems. 7th Edition,
85 Cengage Learning. Canada.
- 86 [2] Stein, S., and Wysession, M. (2009). An introduction to seismology, earthquakes, and earth structure.
87 Blackwell Publishing. Malden, MA.
- 88 [3] Moczo, P., Kristek, J., & Halada, L. (2004). The finite-difference method for seismologists. An Intro-
89 duction. Comenius University, Bratislava.

